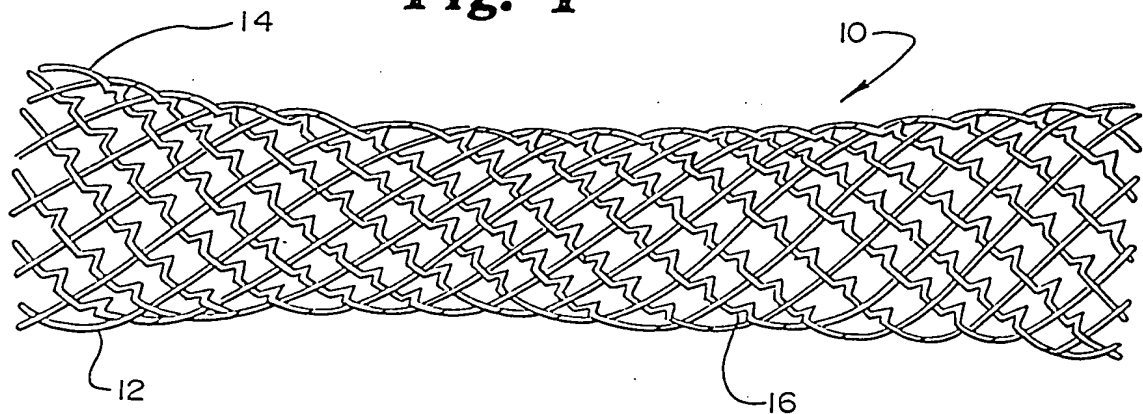


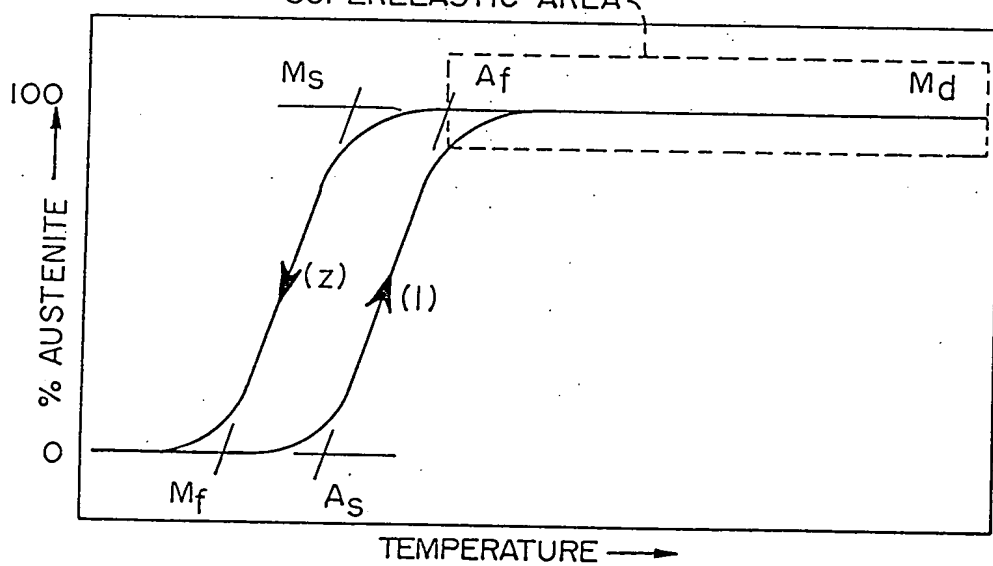
1/13

**Fig. 1**

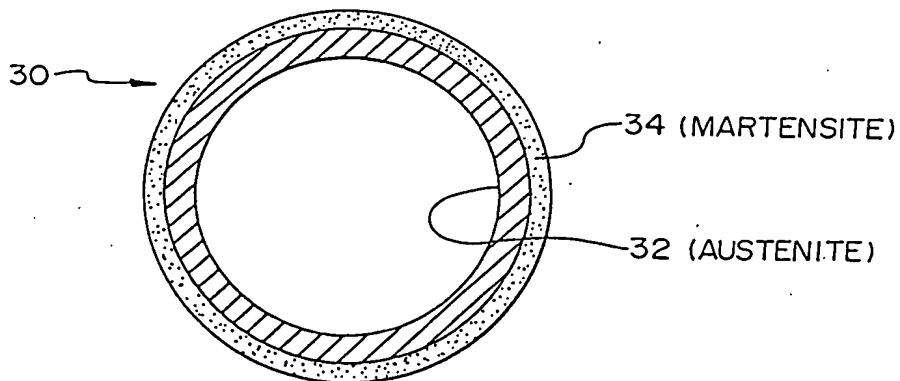


**Fig. 2**

SUPERELASTIC AREA

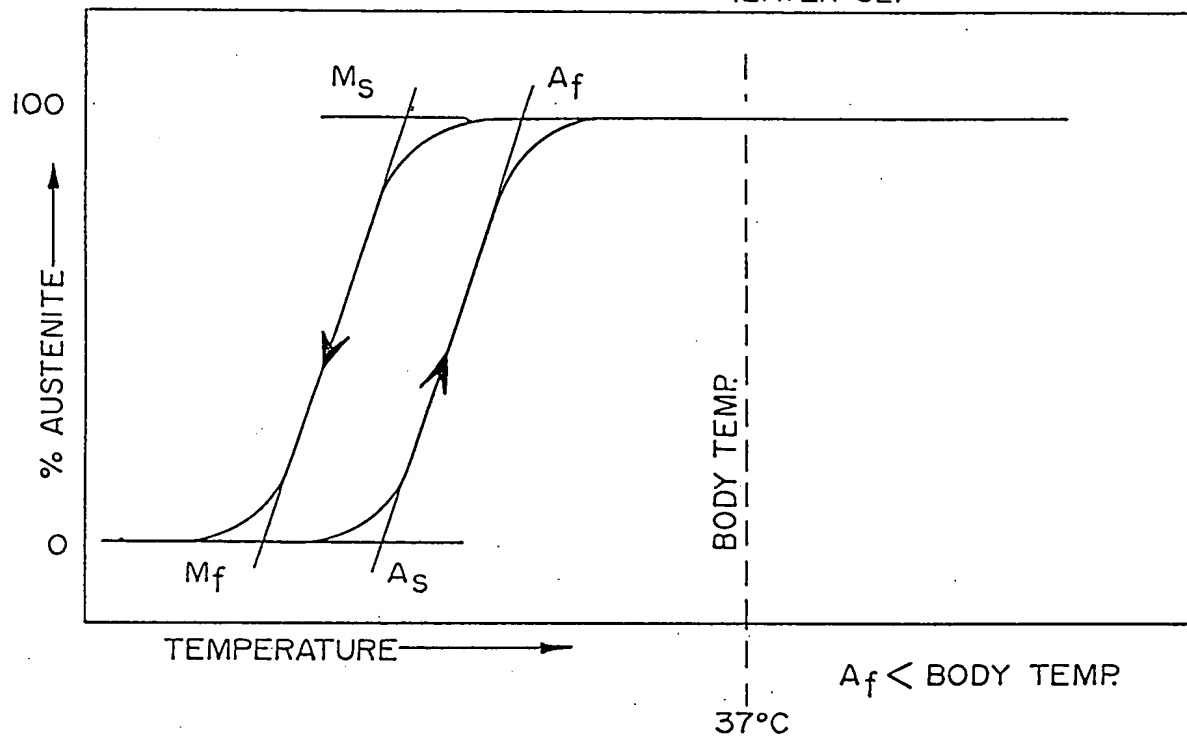


**Fig. 3**

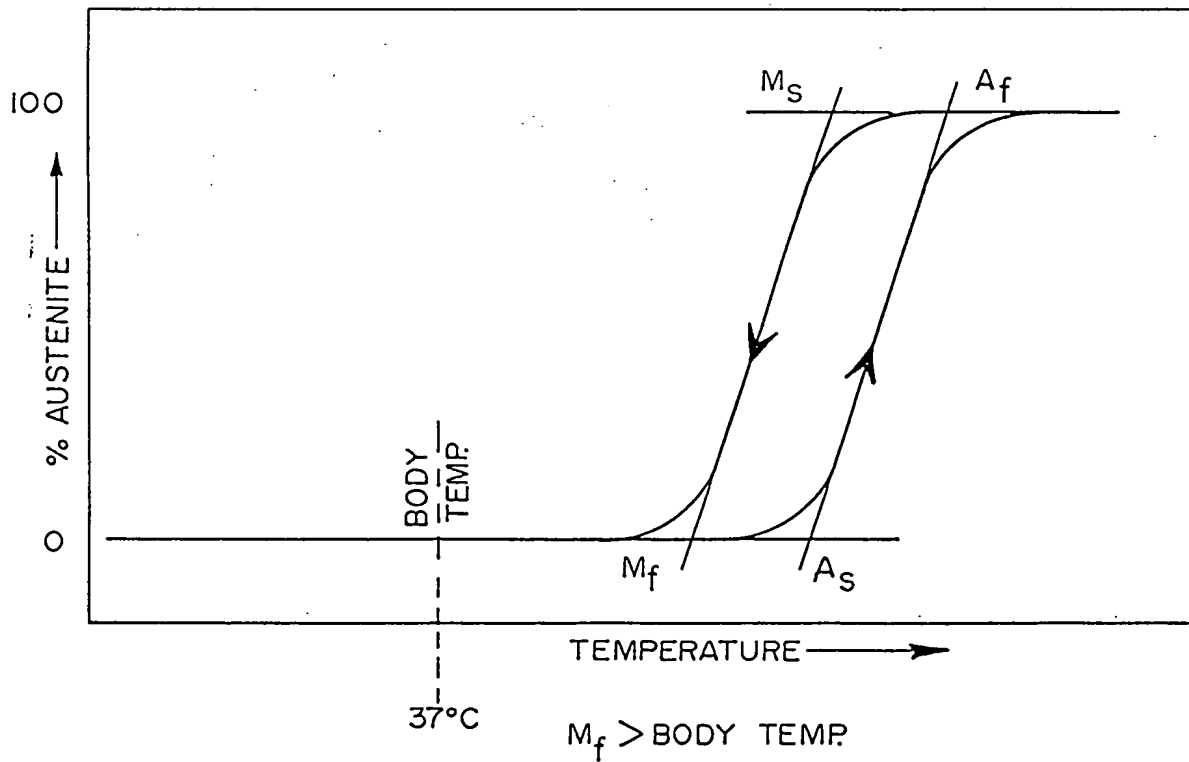


6592017 196224460

**Fig. 4a**  
(LAYER 32)

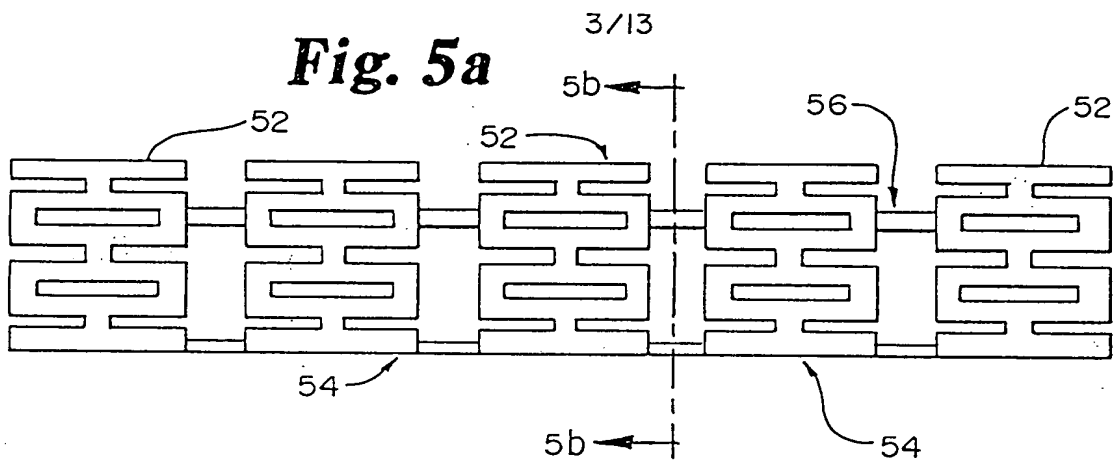


**Fig. 4b**  
(LAYER 34)

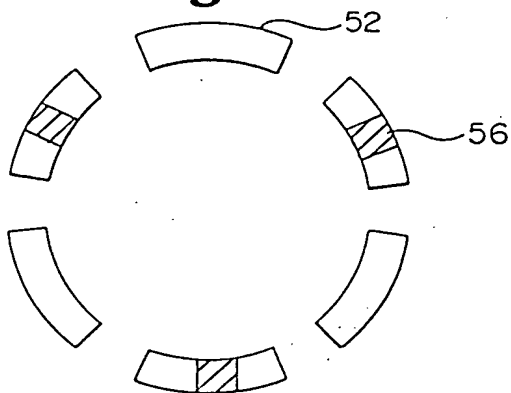


3/13

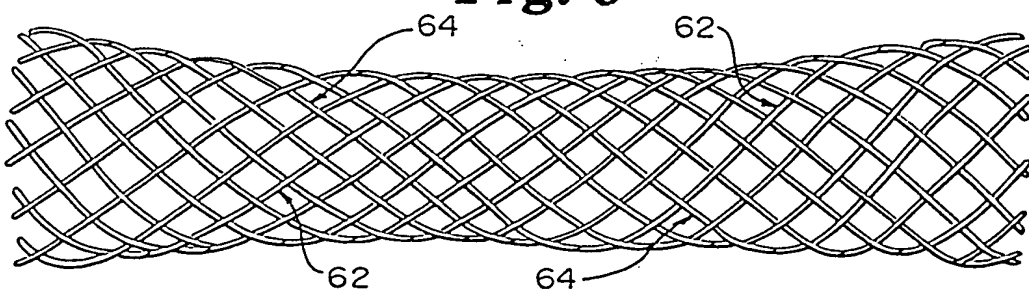
**Fig. 5a**



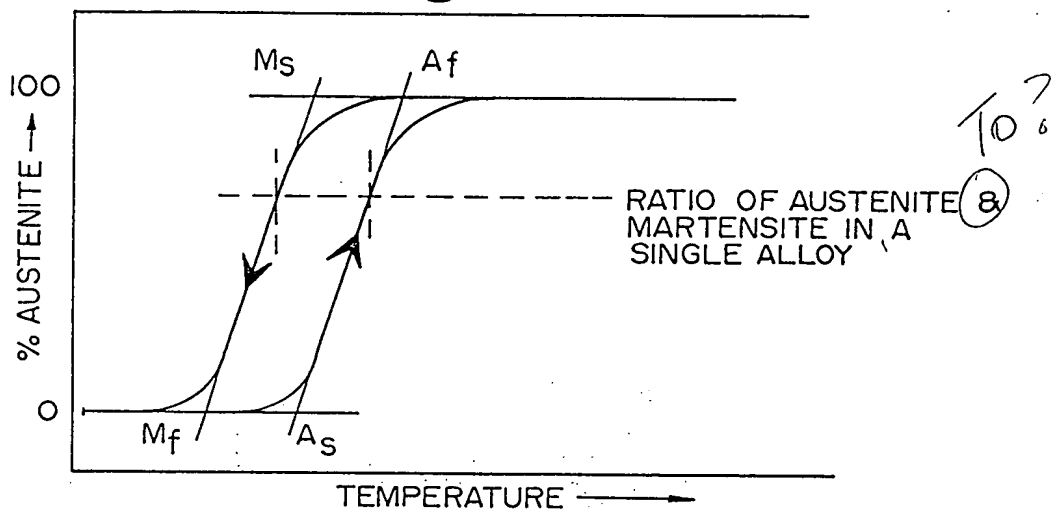
**Fig. 5b**



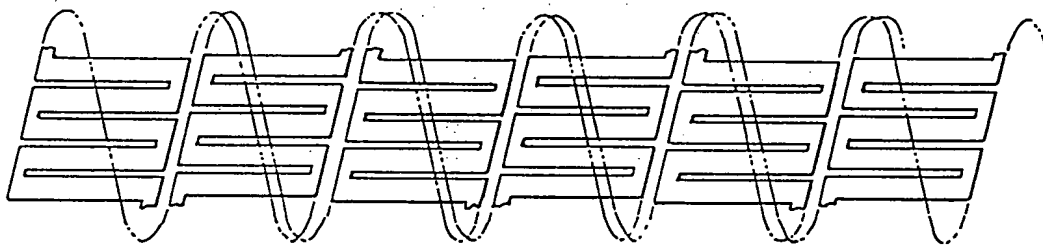
**Fig. 6**



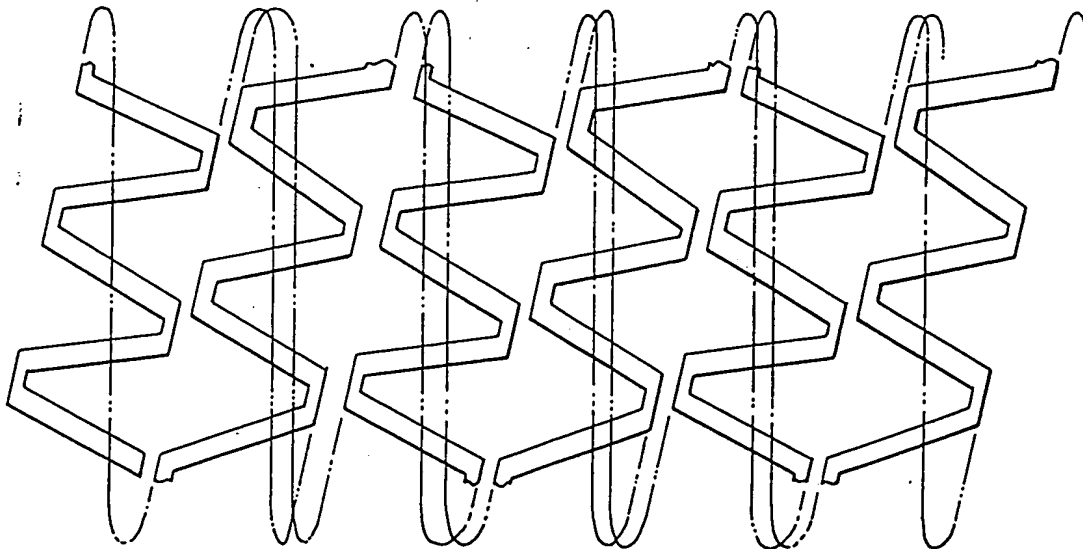
4/13  
**Fig. 7**

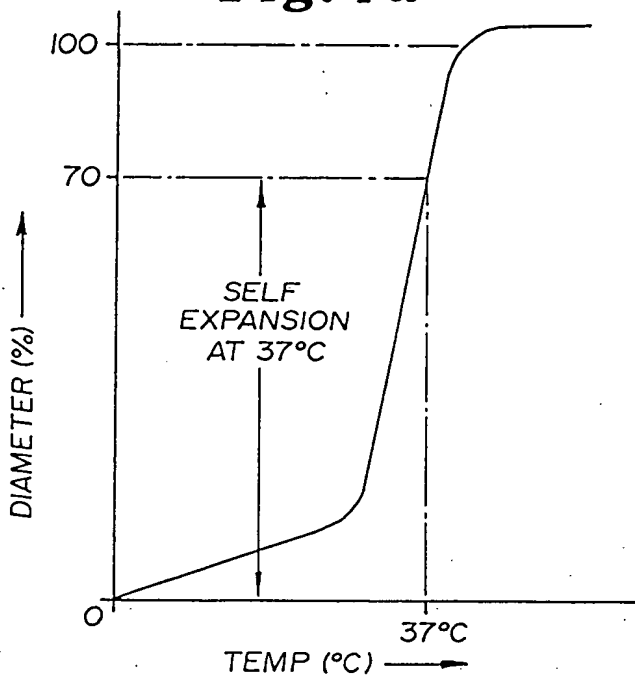
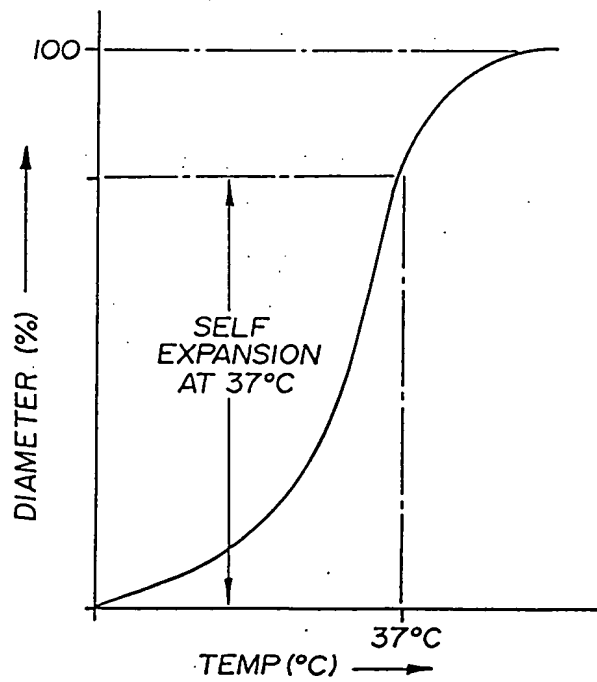


**Fig. 8a**



**Fig. 8b**



**Fig. 7a****Fig. 7b**

6/13

Fig. 7c

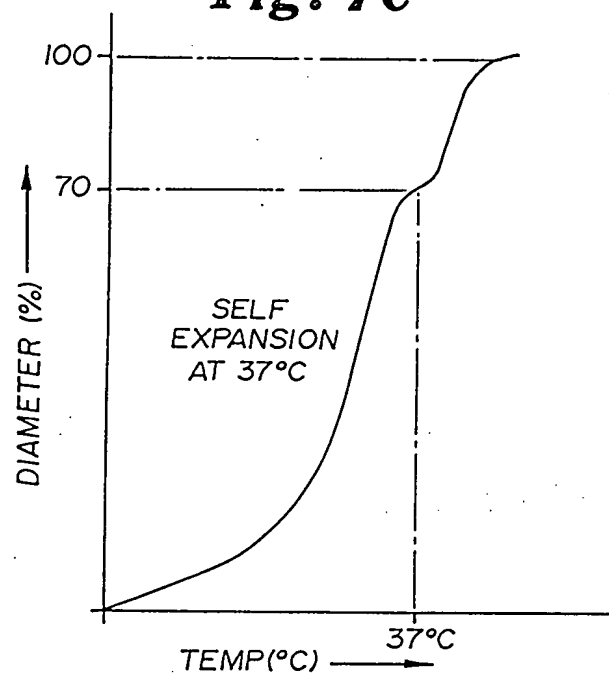
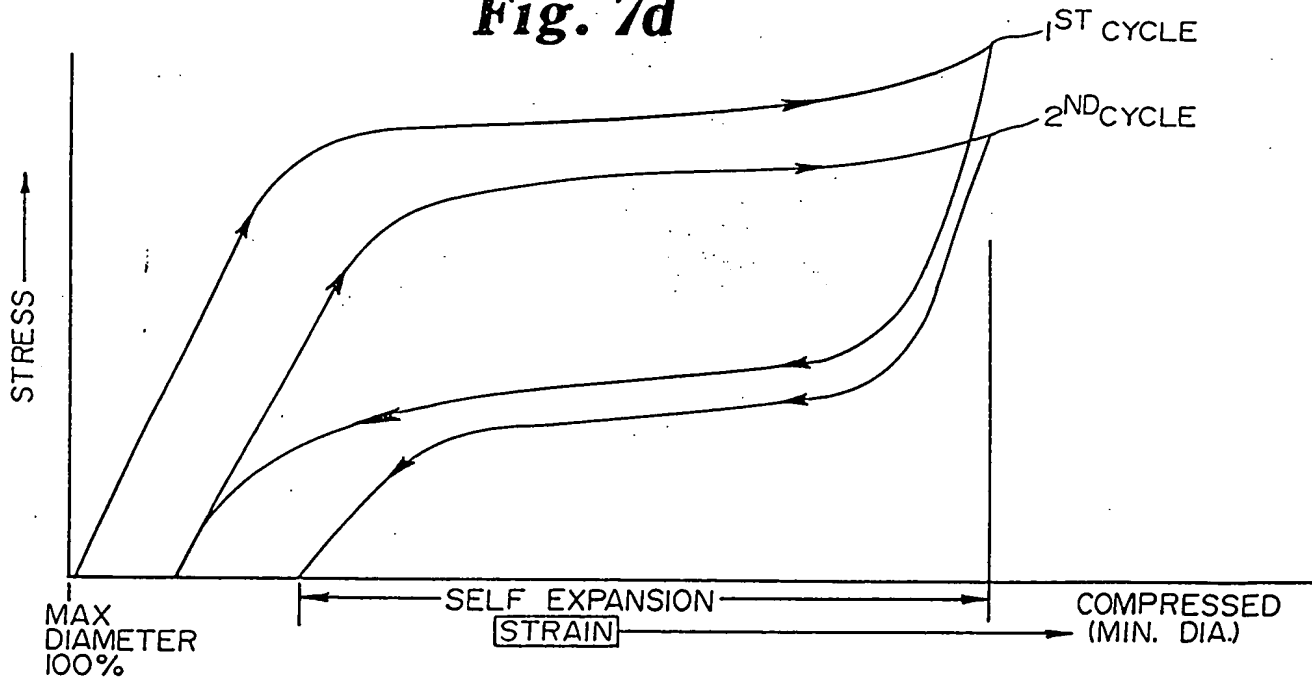


Fig. 7d



66 320°F T6324160

7/13

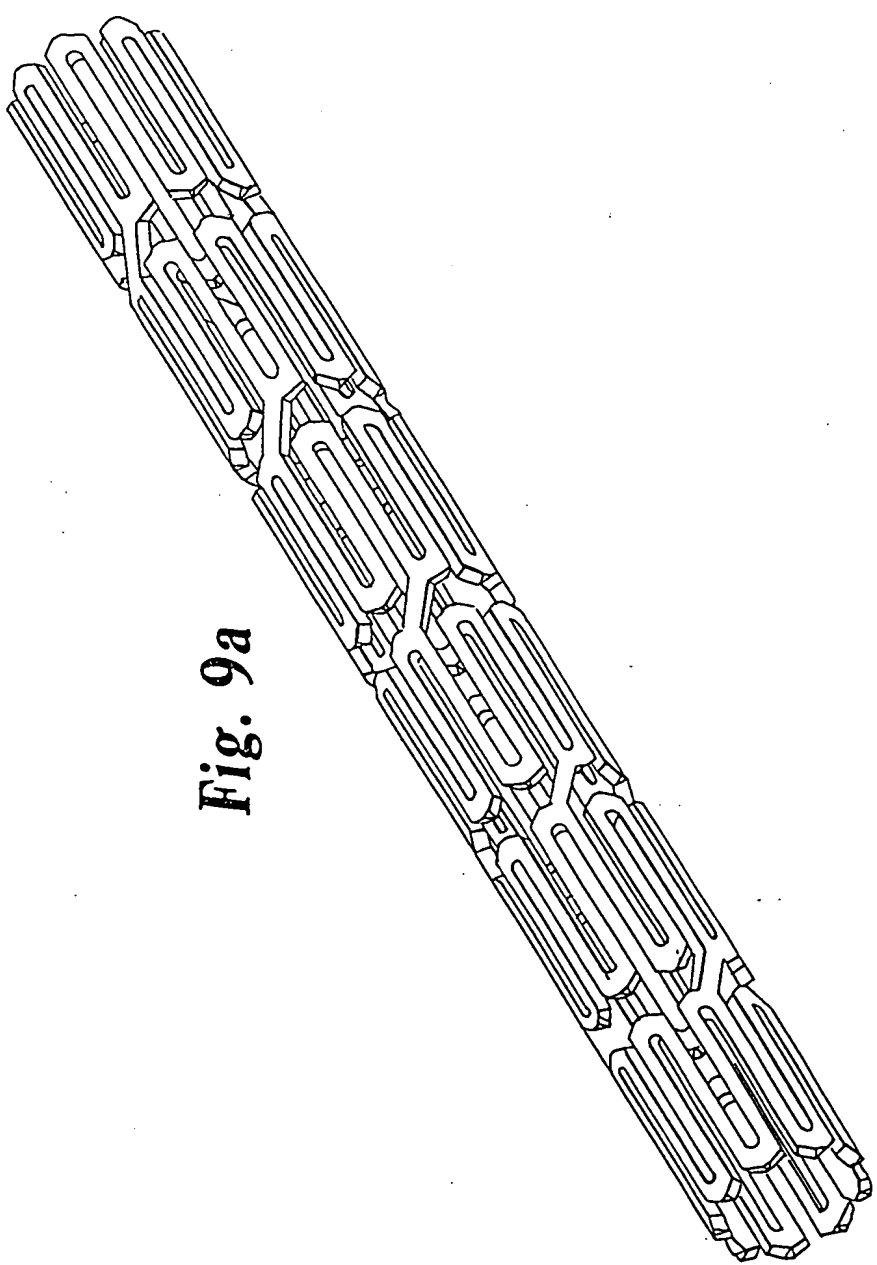
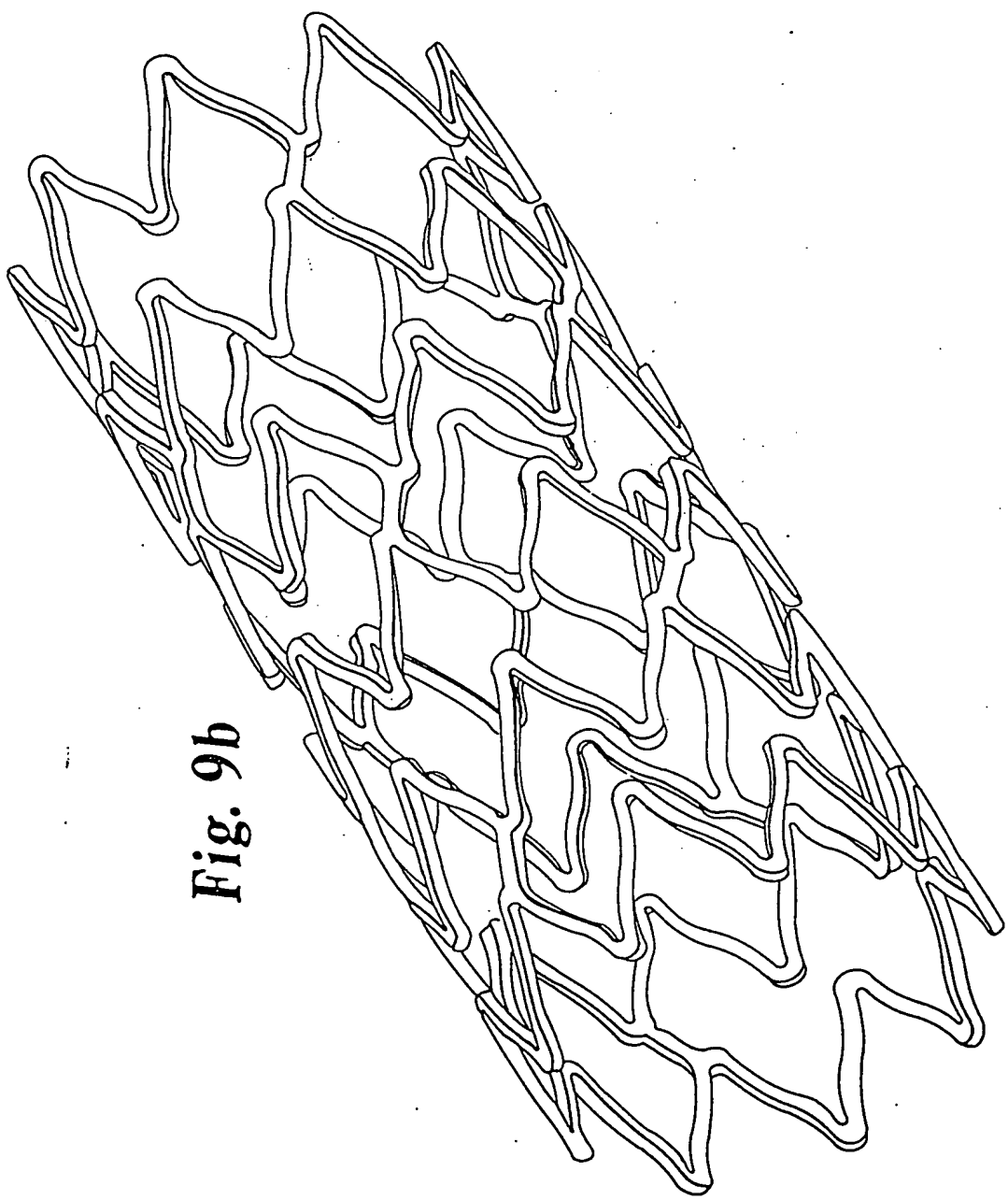


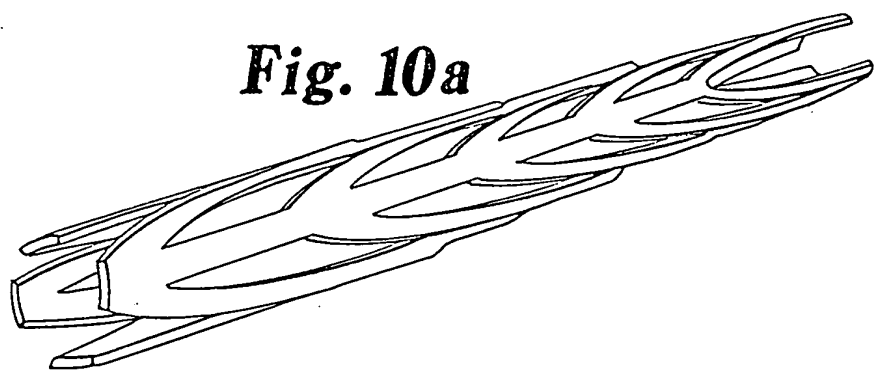
Fig. 9a

Fig. 9b

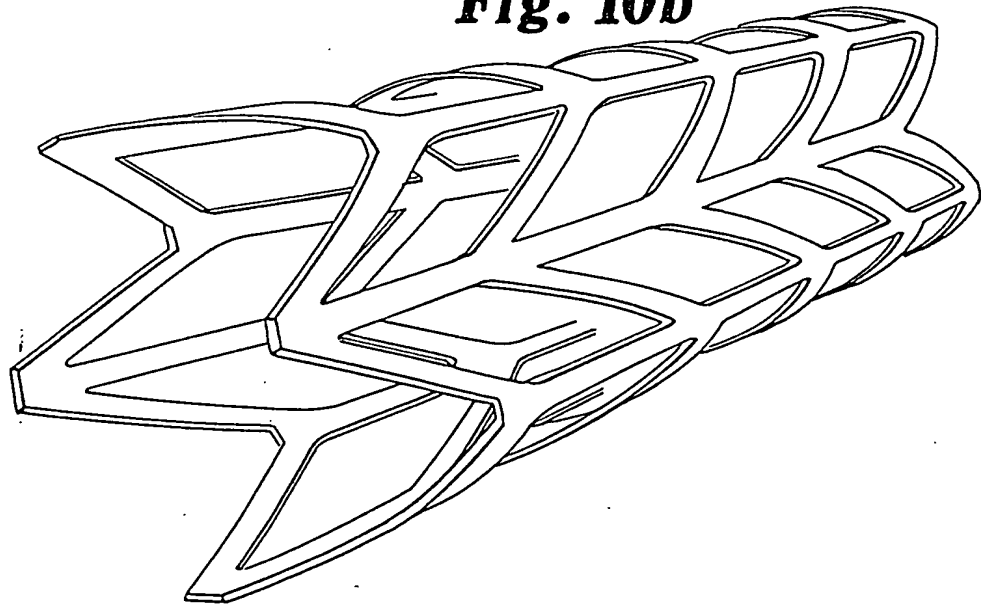


9/13

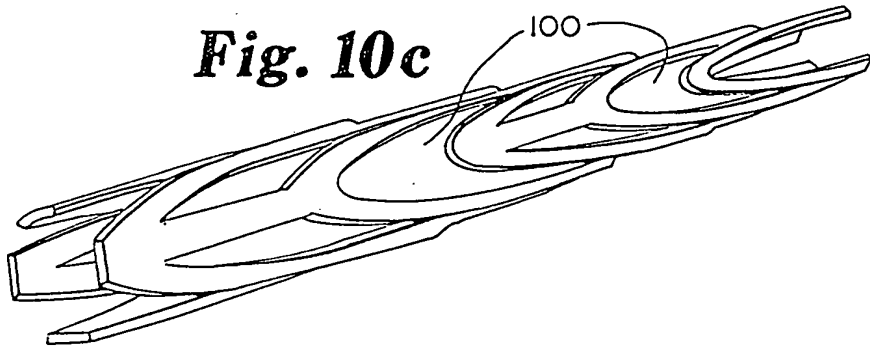
**Fig. 10a**



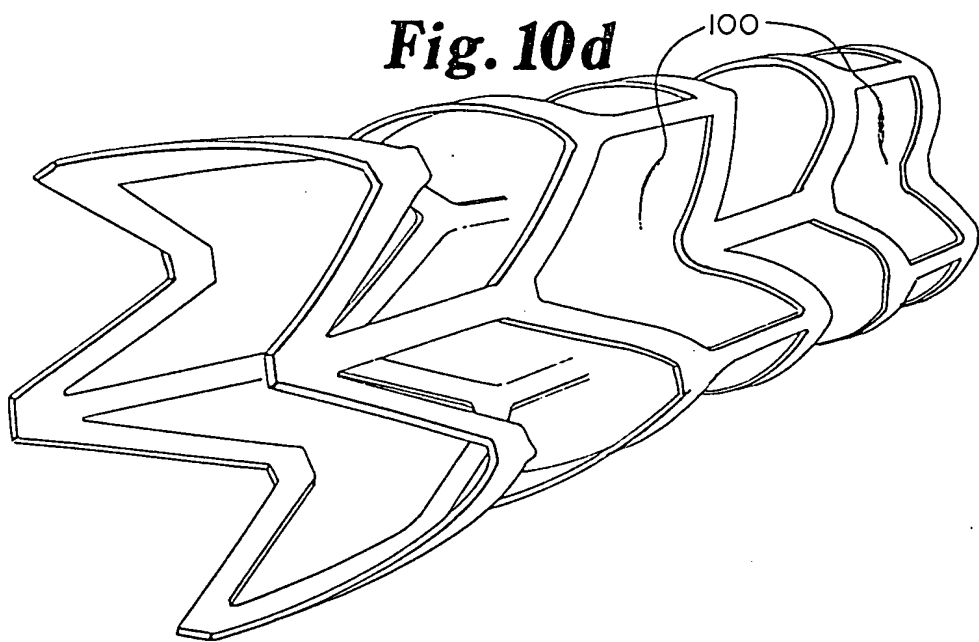
**Fig. 10b**



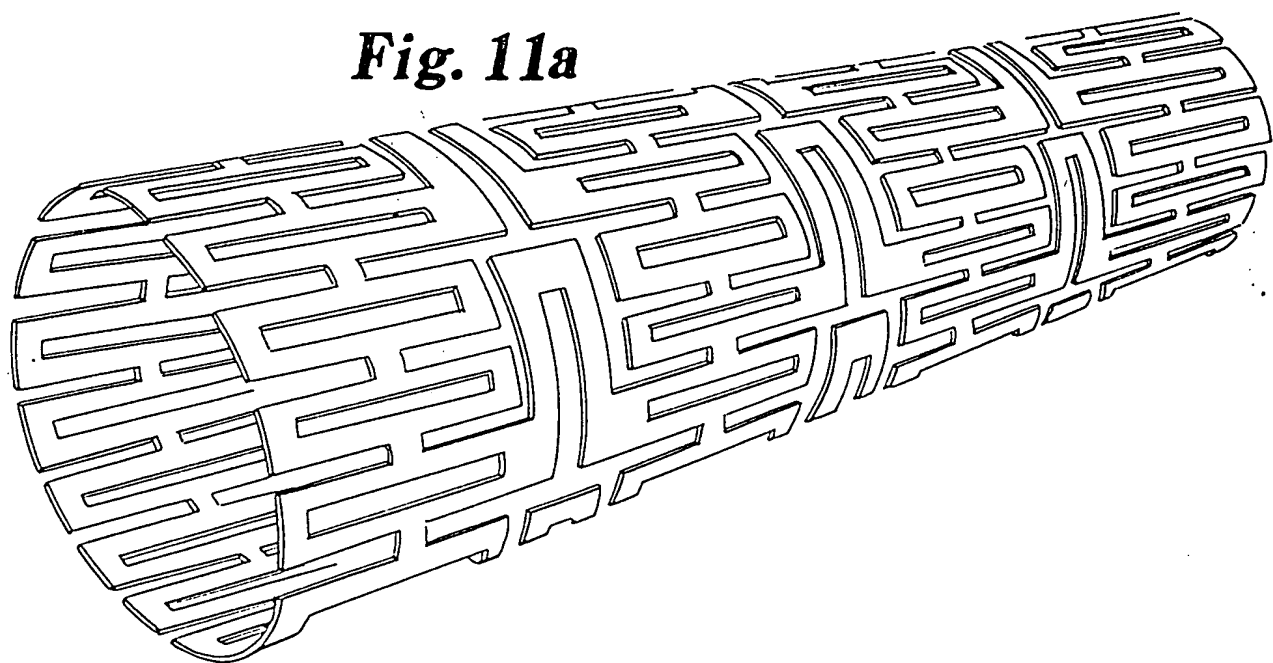
**Fig. 10c**



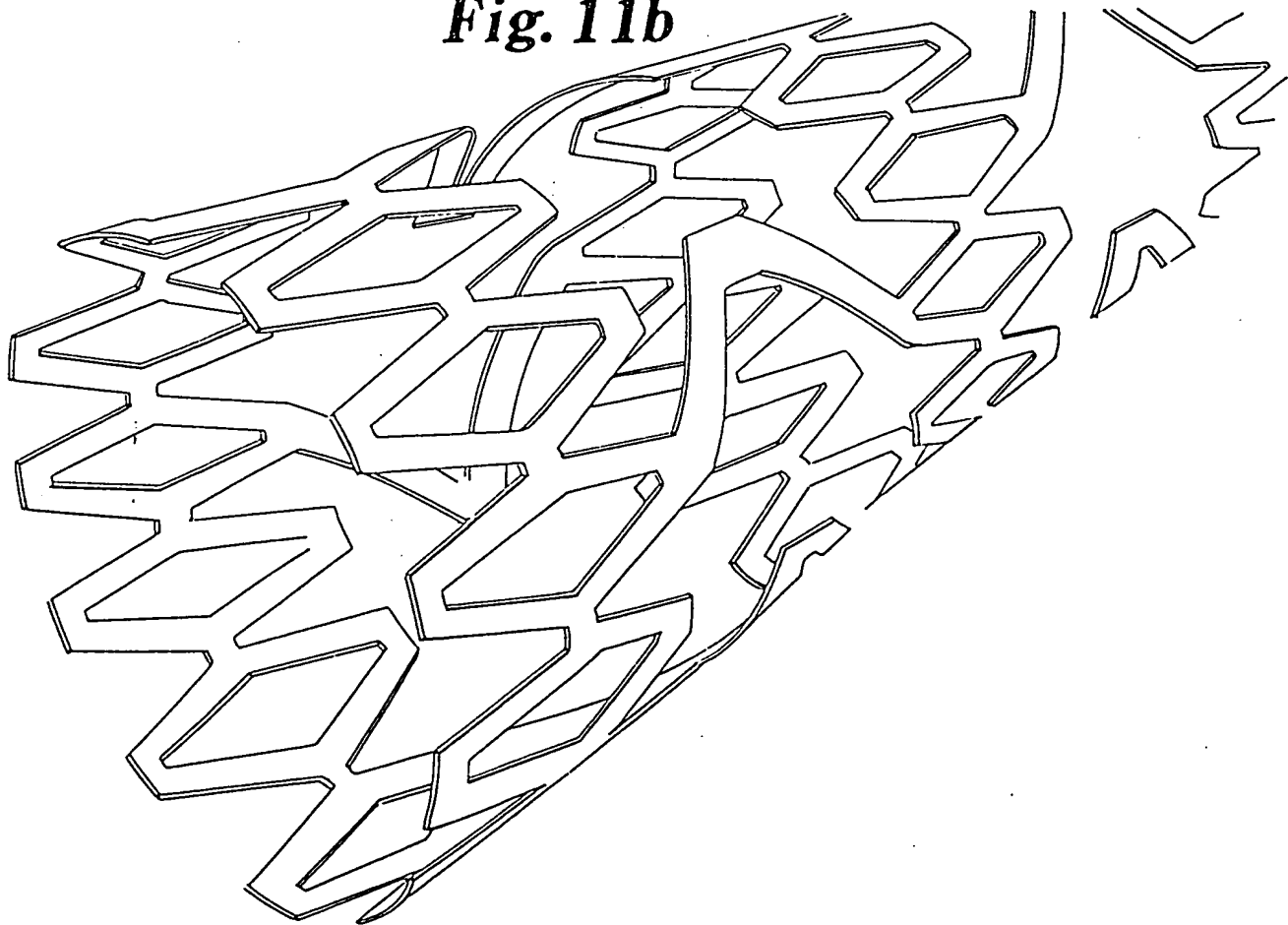
**Fig. 10d**



*Fig. 11a*

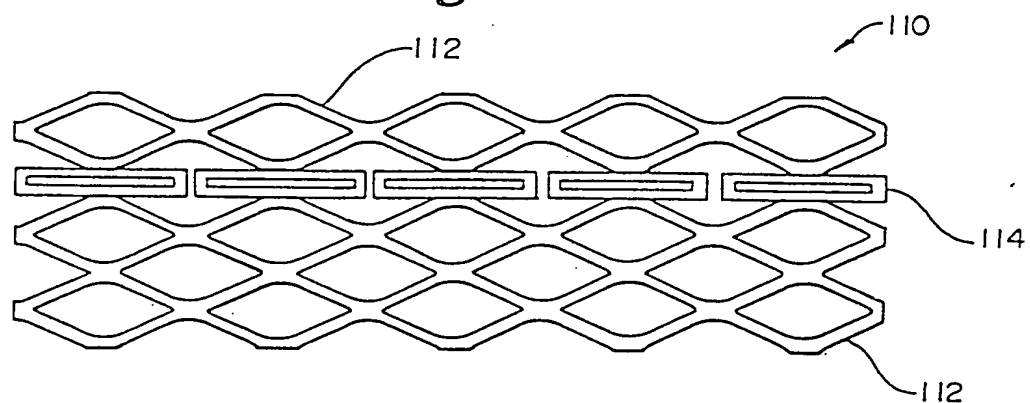


*Fig. 11b*



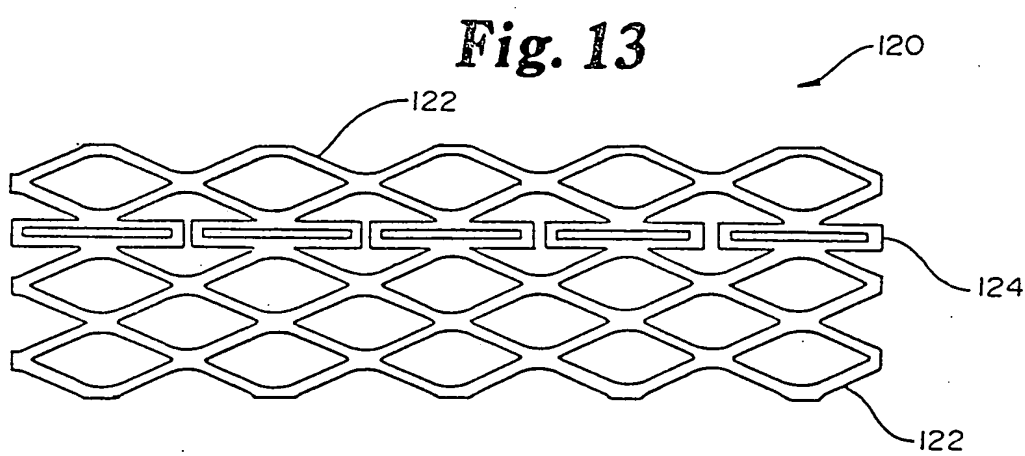
12/13

**Fig. 12**

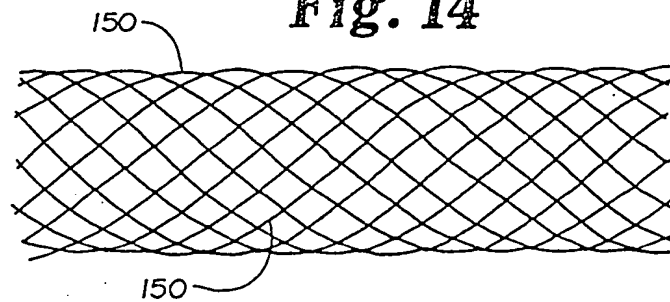


09423201 102690

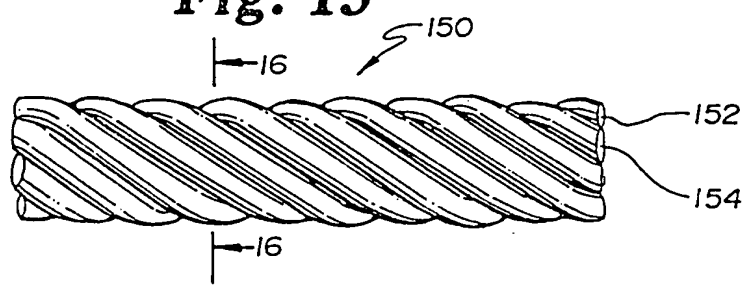
**Fig. 13**



**Fig. 14**



**Fig. 15**



**Fig. 16**

